

پنهانی خطر زمین لغزش با استفاده از تلفیق روش‌های WLC و ANP، Hot Spot (مطالعه موردنی: شهرستان خلخال)

موسی عابدینی^۱- استاد ژئومورفولوژی دانشگاه محقق اردبیلی، اردبیل، ایران
الناز پیروزی- دانشجوی دکتری مخاطرات ژئومورفولیک، دانشگاه محقق اردبیلی، اردبیل، ایران

تاریخ تصویب: ۱۳۹۷/۴/۲۰ تاریخ دریافت: ۱۳۹۷/۷/۲۵

چکیده

زمین لغزش‌ها از جمله مخاطرات طبیعی هستند که همه‌ساله موجب خسارات جانی و مالی زیاد، بهویژه در نواحی کوهستانی می‌شوند. شهرستان خلخال با داشتن چهره کوهستانی و با توجه به وضعیت زمین‌شناسی، فیزیوگرافی، اقلیمی و انسانی، عمدۀ شرایط لازم جهت شکل‌گیری حرکات لغزشی را دارد؛ لذا هدف تحقیق حاضر، پنهانی خطر زمین‌لغزش در این شهرستان می‌باشد. در این مطالعه ابتدا، عوامل مؤثر جهت ایجاد لغزش در منطقه شناسایی شدند و سپس نسبت به تهیّه لایه‌های اطلاعاتی در سامانه اطلاعات جغرافیایی اقدام گردید. در مرحله بعد وزن‌دهی عوامل مورد بررسی، با استفاده از روش ANP و در محیط نرم‌افزار Super Decision انجام گردید و تحلیل و مدل‌سازی نهایی با استفاده از روش تحلیل لکه‌های داغ به عنوان روش آمار فضایی و نیز روش WLC به عنوان یکی از روش‌های تصمیم‌گیری چند معیاره، انجام شد. نتایج مطالعه نشان داد، عوامل شیب، کاربری اراضی، بارش و لیتوژئی به ترتیب با ضریب وزنی ۰/۶۶۳، ۰/۶۴۶، ۰/۶۳۹ و ۰/۳۷۹ بیشترین تأثیر را بر ایجاد زمین‌لغزش در شهرستان خلخال دارند. همچنین، با توجه به نتایج به دست آمده به ترتیب ۹۹/۳۳، ۲۴۹/۰۸، ۳۸۵/۱۴ و ۴۲۷/۱۴ کیلومترمربع از مساحت محدوده، در طبقات لکه داغ، با ضریب اطمینان ۹۵ و ۹۰ درصد، قرار دارند.

کلیدواژه‌ها: خلخال، زمین لغزش، ANP، Hot Spot، WLC.

۱- مقدمه

هر رویداد ژئومورفولوژیک را که اثر نامطلوب اجتماعی، اقتصادی بر سیستم زندگی انسان بر جای می‌گذارد، می‌توان یک خطر ژئومورفیک نامید (Alcantara, 2002). از میان انواع حرکات دامنه‌ای، زمین‌لغزش‌ها از جمله شایع‌ترین خطرات طبیعی‌اند و دارای بیشترین خسارات انسانی و زیستمحیطی می‌باشند (Dhakal et al., 2000). لغزش عبارت است از پایین افتادن یا حرکت یکپارچه و اغلب سریع حجمی از مواد رسوبی در امتداد دامنه‌ها (محمودی، ۱۳۸۲). بنا بر تعریف انجمن زمین‌شناسی مهندسی، زمین‌لغزش عبارت است از جابه‌جایی به سمت پایین توده‌ای از مواد بر روی یک شیب (نصیری، ۱۳۸۳). مکانیسم فعالیت این پدیده بدین گونه است که در سازنده‌های ریزدانه (رس، مارن و شیل) در اثر جذب آب، خاصیت کلوئیدی مواد بهم می‌خورد و تا محلی که رطوبت نفوذ کرده باشد، خاک از توده اصلی جدا شده و در نتیجه نیروی تقل در روی دامنه حرکت می‌کند (احمدی، ۱۳۸۶). این فرآیندها تحت تأثیر عوامل متعدد طبیعی از قبیل دینامیک درونی و بیرونی زمین و نیز فعالیت‌های انسانی از قبیل بارگذاری مواد بر روی دامنه، معدن‌کاوی، احداث سد، مخازن آب و عوارض خطی از قبیل جاده‌ها، راه‌آهن، خطوط لوله نفت و گاز و مواردی از این دست ایجاد می‌شوند. رویداد این حرکات جزء فرآیندهای شکل‌زایی زمین محسوب می‌شود، ولی با این وصف، وقتی ناپایداری دامنه‌ها و حرکات توده‌ای مواد بر روی دامنه‌ها در ارتباط با انسان و ساخت‌وسازهای بشری و مراکز سکونتی و فعالیت‌های وی صورت می‌گیرد، به عنوان بلایا و سوانح طبیعی قلمداد می‌شوند و گاهی وقوع آنها موجب خسارات فراوانی اعم از جانی و مالی در گوش و کنار جهان می‌گردد (هدایی، ۱۳۸۱).

اما، نکته‌ای که بایستی بدان توجه کرد، این است که زمین‌لغزش‌ها از جمله بلایایی هستند که می‌توان آن‌ها را پیش‌بینی نمود و از خسارات و آسیب‌های جانی و مالی ناشی از آن جلوگیری کرد. برای این منظور روش‌های متعددی وجود دارد که پهنه‌بندی از مهم‌ترین آن‌هاست. پهنه‌بندی خطر زمین‌لغزش، ترسیم نقشه نواحی با احتمال یکسان وقوع در زمان معینی می‌باشد. از این طریق سطح زمین به نواحی مجزایی از درجات بالفعل و بالقوه خطر (بسیار کم تا بسیار زیاد) تقسیم می‌شود (Bell & Glade, 2004). به طور مسلم پهنه‌بندی خطر حرکات دامنه‌ای گامی مهم در ارزیابی خطرهای محیطی به شمار می‌رود و نقش غیر قابل انکار را در مدیریت حوضه‌های رودخانه‌ای و کوهستانی ایفا می‌نماید (Sakar et al., 1995). بنابراین شناخت عوامل مؤثر بر زمین‌لغزش و پهنه‌بندی خطرات ناشی از آن در مناطق مختلف از نیازهای اساسی و بسیار مهمی است که برنامه‌ریزان به آن محتاج می‌باشند (رنجر، ۱۳۸۸). شهرستان خلخال، به لحاظ وضعیت خاص منطقه، مانند توپوگرافی (داشتن چهره کوهستانی)، شیب زیاد، وجود مواد سطحی سست و نامقاوم بر روی سازنده‌های مقاوم و شرایط اقلیمی (به ویژه به علت بارش‌های بهاری و نیز ذوب برف‌ها در فصل بهار) از پتانسیل بالایی برای وقوع زمین‌لغزش برخوردار است و حادثه‌خیزترین منطقه استان، از نظر

زمین‌لغزش، می‌باشد. از آن جهت که وقوع لغزش‌ها، منجر به آسیب‌ها و خسارات متعدد، از جمله تخریب راه‌های ارتباطی، آسیب به مناطق مسکونی و فرسایش و هدر رفتن منابع با ارزش خاک در منطقه می‌گردد؛ بنابراین مطالعه عوامل مؤثر در وقوع زمین‌لغزش و پهنه‌بندی سطح شهرستان از لحاظ پتانسیل بالقوه و بالفعل، جهت ارائه راه حل‌ها و شیوه‌های مناسب جهت مهار و کنترل زمین‌لغزش ضروری به نظر می‌رسد.

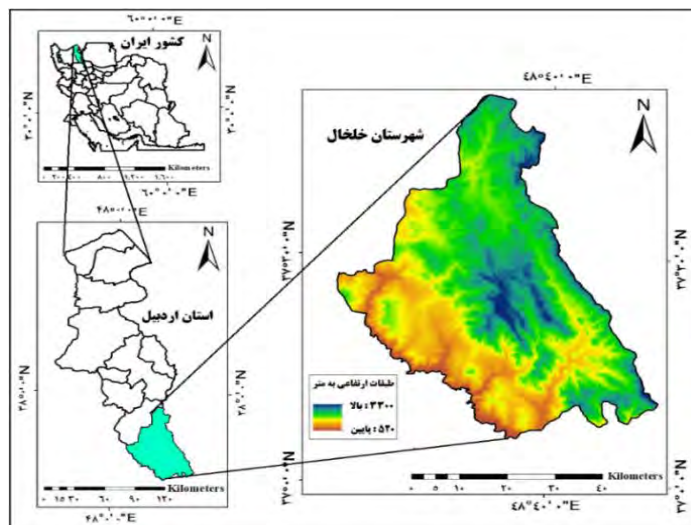
مطالعات ارزنده‌ای، به ویژه در سال‌های اخیر، به منظور بررسی زمین‌لغزش‌ها در نواحی مختلف ایران و جهان، صورت گرفته است. برای مثال: کریمی سنگ‌چینی و همکاران (۱۳۹۰)، در حوضه چهل‌چای استان گلستان، از روش‌های AHP، WLC و رگرسیون لجستیک و روش آماری چند متغیره، به منظور پهنه‌بندی ریسک‌پذیری زمین‌لغزش استفاده کرده‌اند، نتایج نشان داد که مدل ترکیب خطی وزنی بعد از روش آماری از مطلوبیت بالایی برخوردار می‌باشد. پیروزی و همکاران (۱۳۹۱)، در مطالعه‌ای پهنه‌بندی خطر زمین‌لغزش را در حوضه آبخیز آق لاقان چای با استفاده از روش WLC، انجام دادند. با توجه به نتایج مطالعه، طبقه با خطر زیاد و بسیار زیاد به ترتیب ۳۶ و ۸ درصد از کل مساحت حوضه را شامل می‌شوند. امیر احمدی و همکاران (۱۳۹۴)، مطالعه‌ای را تحت عنوان پهنه‌بندی خطر زمین‌لغزش با استفاده از مدل ANP در حوضه پیوه‌زن دامنه جنوبی بینالود انجام دادن. با توجه به نتایج مطالعه، عوامل فاصله از روختانه و جاده بیشترین وزن را به خود اختصاص دادند و همچنین مدل ANP، به عنوان مدلی مناسب و کارآمد برای پیش‌بینی لغزش معرفی شده است. کردوانی و همکاران (۱۳۹۶)، به ارزیابی خطر زمین‌لغزش در حوضه آبخیز اوغان استان گلستان، با استفاده از روش ANP پرداختند. طبق نتایج مطالعه، ۲۹ درصد حوضه در محدوده خطر زیاد و خیلی زیاد قرار دارند و به ترتیب عوامل شیب، لیتولوژی و فاصله از جاده مهم‌ترین عوامل دخیل در زمین‌لغزش می‌باشند. بهاروند و همکاران (۱۳۹۶)، با استفاده از روش WLC، به پهنه‌بندی خطر زمین‌لغزش در حوضه ده سفید لرستان پرداختند و نتایج مطالعه نشان داد، به ترتیب ۳/۶۹ و ۴/۴۳ درصد از محدوده در کلاس خطر خیلی زیاد و زیاد قرار دارند. همچنین در این مطالعه با استفاده از شاخص احتمال تجربی مطلوبیت عملکرد مدل WLC مورد تأیید قرار گرفته است. بهاروند و همکاران (۱۳۹۷)، در مطالعه‌ای به مطالعه زمین‌لغزش در حوضه وارک لرستان، با استفاده از روش ترکیب خطی وزن‌دار (WLC)، پرداختند. نتایج مطالعه نشان داد که به ترتیب ۹/۵۲ و ۲۱/۹۰ درصد از مساحت حوضه در طبقات خطر زیاد و خیلی زیاد قرار دارند و بیشترین حساسیت به خطر لغزش در قسمت‌های شمال، شمال‌غرب و جنوب غرب منطقه واقع شده است. Neupane & Piantanakulchai (۲۰۰۶)، در ارتفاعات Siwalik (در بخش شرقی نپال)، به ارزیابی خطر لغزش با استفاده از روش ANP پرداختند. در این مطالعه عوامل سنگ‌شناسی، زاویه شیب، شیب، زمین‌شناسی، نزدیکی به روختانه به عنوان عوامل دخیل در وقوع زمین‌لغزش در نظر گرفته شده و در نهایت کارایی روش ANP، جهت مطالعه زمین‌لغزش‌ها مورد پذیرش واقع شده است. Kouli et al (۲۰۱۰)، در حوضه ریتمنو جزیره ایسلند، پهنه‌بندی خطر زمین‌لغزش را با استفاده از مدل WLC انجام دادند و

به این نتیجه رسیدند که روش ترکیب خطی وزنی روش مناسبی جهت مطالعه و پنهانی زمین لغزش‌ها می‌باشد. Abedi Gheshlaghi & Feizizadeh (۲۰۱۷)، با استفاده از ANP و منطق فازی، خطر زمین لغزش را حوضه آذرشهر مورد مطالعه قرار دادند. در این مطالعه عوامل شیب، جهت شیب، ارتفاع، سنگ‌شناسی، کاربری اراضی، چگالی گیاه، بارش، فاصله از گسل، فاصله از جاده و فاصله از روودخانه به عنوان عوامل مؤثر در نظر گرفته شده است و طبق نتایج مطالعه، در مجموع ۲۳/۲۲٪ از منطقه، به وسعت ۱۰۵/۳۸ کیلومترمربع، در طبقه پرخطر و بسیار پرخطر قرار دارد. Tajudin et al (۲۰۱۸)، در Ulu Kelang، واقع در کشور مالزی، با استفاده از GIS و سنجش از دور و عوامل شیب، جهت شیب، زمین‌شناسی، کاربری اراضی و به ویژه با تأکید بر نقش بارش، به مطالعه زمین لغزش پرداختند. نتایج مطالعه در ۵ رده خطر بسیار کم تا بسیار زیاد به دست آمد و کارایی روش WLC، با توجه به رخدادهای زمین لغزش در سال‌های ۲۰۰۹ تا ۲۰۰۲ مورد تأیید قرار گرفت. Gigovic et al (۲۰۱۹)، در مطالعه‌ای با استفاده از تصمیم‌گیری چند معیاره فضایی و با استفاده از پانزده معیار، به پنهانی زمین لغزش در بخش غربی جمهوری صربستان پرداختند و در این مطالعه، در مجموع ۱۰۸۲ مکان لغزش شناسایی شدند. نتایج اعتبارسنجی تأیید کرد که ترکیب خطی وزنی (WLC)، از دقت بسیار بالایی برخوردار است.

۲- مواد و روش‌ها

۱-۱- منطقه مورد مطالعه

شهرستان خلخال با وسعت ۲۶۸۸ کیلومتر مربع، در جنوب استان اردبیل، بین ۴۸ درجه و ۱۰ دقیقه تا ۴۸ درجه و ۵۵ دقیقه طول شرقی و ۳۷ درجه و ۱۱ دقیقه تا ۳۷ درجه و ۵۱ دقیقه عرض شمالی واقع شده است (شکل ۱). این شهرستان از ۳ شهر خلخال، هشتگین و کلور و سه بخش مرکزی، خورش رستم و شاهروд تشکیل شده است. شهرستان خلخال، از طرف شمال با شهرستان کوثر، از شرق با استان گیلان، از جنوب با استان زنجان و از غرب با شهرستان میانه آذربایجان شرقی هم مرز است. این شهرستان، یک منطقه کوهستانی می‌باشد که از شرق به غرب و از شمال به جنوب از ارتفاعات آن کاسته می‌شود. ارتفاع بلندترین نقطه آن ۳۳۰۰ متر (قله آق داغ) و پست‌ترین نقطه ۵۲۰ متر (در حاشیه روودخانه قزل‌آوزن) است. در شهرستان خلخال، رود قزل اوزن و شاخه‌های آن مانند شاهرود، هروچای، آرپاچای جریان دارد و میانگین بارش سالانه این شهرستان، ۳۰۰ میلی‌متر می‌باشد.



شکل ۱- نقشه موقعیت شهرستان خلخال

۲-۲- داده‌ها

در این مطالعه، ابتدا عوامل مؤثر در وقوع زمین‌لغزش (شامل: شبیب، جهت شبیب، لیتوژری، کاربری اراضی، خاک، بارش، فاصله از راه ارتباطی، فاصله از رودخانه و فاصله از گسل)، با توجه به شرایط طبیعی و انسانی منطقه شناسایی گردید. در مرحله بعد لایه‌های اطلاعاتی مربوط به هر یک از عوامل، در محیط سیستم اطلاعات جغرافیایی تهیه گردید. لایه‌های اطلاعاتی خطوط منحنی میزان، راه‌های ارتباطی و شبکه آبراهه با رقومی‌سازی از روی نقشه توپوگرافی شهرستان با مقیاس ۱:۵۰۰۰۰ به دست آمد و لایه‌های شبیب و جهت شبیب با استفاده از مدل رقومی ارتفاعی تهیه گردید. لایه‌های اطلاعاتی مربوط به لیتوژری (مقاومت سنگ‌ها) و گسل با رقومی‌سازی از روی نقشه زمین‌شناسی شهرستان با مقیاس ۱:۱۰۰۰۰۰ تهیه شد. به منظور تهیه لایه اطلاعاتی کاربری از نقشه کاربری شهرستان با مقیاس ۱:۵۰۰۰۰ استفاده شد و به منظور به روز کردن نقشه کاربری، از تصاویر لندست هشت که شامل سنجنده OLI و TIRS استفاده شده است و بدین منظور در نرم افزار ENVI 5.3، بعد از انجام تصحیحات اتمسفری تصویر ماهواره‌ای با استفاده از روش Flaash، از طریق روش طبقه‌بندی نظارت شده Maximum Likelihood، نسبت به تهیه نقشه کاربری اقدام شد. جهت تهیه نقشه خاک نیز از نقشه خاک استان اردبیل با مقیاس ۱:۵۰۰۰۰ استفاده شده است. نقشه بارش شهرستان، با استفاده از داده‌های ایستگاه‌های هواشناسی و باران‌سنجی و با به دست آوردن معادله گرادیان بارش (P=0.239 H-73.48) و نیز استفاده از مدل رقومی ارتفاعی تهیه گردید.

۱-۳-۲- فرآیند تحلیل شیکه‌ای^۱

روش ANP شکل توسعه یافته‌ای از روش AHP است که قادر است همبستگی و بازخوردهای موجود بین عناصر در یک تصمیم‌گیری را مدل‌سازی نموده و تمامی تأثیرات درونی اجزای مؤثر در تصمیم‌گیری را منظور و وارد محاسبات نماید (رزمی، ۱۳۸۷؛ به نقل از مهدی زاده، ۱۳۹۰). به طور کلی، روش ANP دارای مراحل زیر می‌باشد.

- ۱- تعیین معیارها و شاخص‌ها.
- ۲- تعیین روابط و ارتباطات بین عناصر و خوشه‌ها: در این گام، مسئله تصمیم‌گیری به ساختار شبکه‌ای تجزیه می‌گردد. هر شبکه از مجموعه‌ای از خوشه‌ها تشکیل شده است که هر خوشه شامل مجموعه‌ای از عناصر می‌باشد، به طور کلی، دو نوع وابستگی اصلی در هر شبکه می‌تواند وجود داشته باشد:
 - الف- وابستگی میان خوشه‌ها: به گونه‌ای که هر خوشه می‌تواند با خوشه دیگر در هر سطح تصمیم‌گیری دارای ارتباط متقابل و بازخورده باشد.
 - ب- وابستگی میان عناصر خوشه‌ها: به گونه‌ای که هر عنصر در هر خوشه می‌تواند با تمامی عناصر موجود در دیگر خوشه‌ها وابستگی داخلی داشته باشد و حتی عناصر درون یک خوشه نیز می‌توانند با یکدیگر وابستگی داشته باشند.
- ۳- مقایسات زوجی بین عناصر و خوشه‌ها: ماتریس‌های مقایسات زوجی مشابه با روش AHP می‌باشد و زوج‌های عناصر تصمیم‌گیری در هر خوشه به نسبت اهمیت‌شان در جهت شرط‌های کترولی آن‌ها مقایسه می‌شوند، خود خوشه‌ها نیز به نسبت سهم‌شان در هدف، مقایسات زوجی می‌شوند، به علاوه وابستگی‌های درونی بین عناصر یک خوشه نیز باید طوری جفتی مورد آزمون قرار گیرند و تأثیر هر عنصر بر روی عنصر دیگر توسط یک بردار ویژه نمایش داده شود، ۴- تشکیل سوپر‌ماتریس‌ها: الف- تشکیل سوپر‌ماتریس اولیه یا غیر وزنی: عناصر ANP با یکدیگر در تعامل قرار دارند، این عناصر می‌توانند واحد تصمیم‌گیرنده، معیارها، زیرمعیارها، نتایج حاصل، گزینه‌ها و هر چیز دیگری باشند. وزن نسبی هر ماتریس براساس مقایسه زوجی شبیه روش AHP محاسبه می‌شود، وزن‌های حاصل در سوپر‌ماتریس وارد می‌شوند که رابطه متقابل بین عناصر سیستم را نشان می‌دهند.
- ب- تشکیل سوپر‌ماتریس وزنی: در واقع ستون‌های سوپر‌ماتریس از چند بردار ویژه تشکیل می‌شود که جمع هر کدام از بردارها برابر یک است، بنابراین این امکان وجود دارد که جمع هر ستون سوپر‌ماتریس اولیه بیش از یک باشد (متناسب با بردارهای ویژه‌ای که در هر ستون وجود دارند). برای آن که از عناصر ستون متناسب با وزن نسبی‌شان فاکتور گرفته شود و جمع ستون برابر یک شود، هر ستون ماتریس استاندارد می‌شود، در نتیجه ماتریس جدیدی به دست می‌آید که جمع هر یک از ستون‌های آن برابر یک خواهد بود، این موضوع شبیه زنجیره مارکوف است که جمع احتمال همه وضعیت‌ها معادل است، ماتریس جدید، ماتریس وزنی یا ماتریس استوکاستیک گفته می‌شود. ج- تشکیل سوپر‌ماتریس حدی: سوپر‌ماتریس وزنی، به توان حدی می‌رسد تا عناصر ماتریس همگرا شده و مقادیر سطری آن با هم برابر شوند. ماتریسی که در نتیجه به توان رسیدن ماتریس وزنی به دست می‌آید، ماتریس حدی

می باشد. ۵- نتایج ماتریس خوشها: پس از محاسبه سوپر ماتریس حدّی، آخرین مرحله برای تعیین ارزش و ضریب نهایی عناصر، محاسبه نتایج ماتریس خوشها و نرمال سازی ضریب عناصر در سوپر ماتریس حدّی توسط ضریب خوشها می باشد. ۶- نتیجه نهایی عناصر: ضرایب سوپر ماتریس در ضرایب ماتریس خوشها نرمال شده و در نهایت، نتیجه نهایی عناصر و اولویت آنها مشخص می گردد (فرجی سبکبار و همکاران، ۱۳۸۹).

۴- ترکیب خطی وزنی^۱

هر لایه نقشه معیار استاندارد می شود. ۲- وزن های معیار تعیین می گردد. ۳- لایه های نقشه استاندارد شده وزنی را ایجاد می کنیم (ضرب لایه های نقشه استاندارد شده در وزن های متناظر). ۴- با اعمال عملیات همپوشی جمعی بر روی لایه های نقشه استاندارد شده وزنی، نمره یا امتیاز کل را در رابطه با هر گزینه به دست می آوریم؛ گزینه ای که دارای بالاترین امتیاز (رتبه) باشد، به عنوان بهترین گزینه شناخته می شود. به طور رسمی در قاعده تصمیم گیری برای ارزیابی هر گزینه یا A_i ، از رابطه (۱) استفاده می شود:

$$A_i = \sum_j w_j x_{ij} \quad \text{رابطه ۱}$$

که در آن x_{ij} ، معرف نمره گزینه^۱ ام در ارتباط با صفت z ام و w_j ، مشتمل بر یک وزن استاندارد شده است؛ به گونه ای که $\sum w_j = 1$. وزن ها اهمیت نسبی هر صفت را به نمایش می گذارند. با تعیین ارزش حداقل A_i ، اولویت دارترین گزینه انتخاب می گردد. در رابطه (۱) به مانند معادل رگرسیون تناسب به صورت خطی تعیین می شود (مالچفسکی، ۱۳۸۵).

۵- تحلیل لکه داغ^۲

تحلیل لکه های داغ، آماره گتیس-ارد ارجحی را برای کلیه عوارض موجود محاسبه می نماید. امتیاز Z محاسبه شده نشان می دهد که کجای داده ها مقادیر کم و زیاد خوشبندی شده اند. این ابزار در حقیقت به هر عارضه در چهار چوب عوارضی که در همسایگی اش قرار دارند نگاه می کند. اگر عارضه ای مقادیر بالا داشته باشد جالب و مهم است، ولی به تنهایی ممکن است یک لکه داغ معنادار از نظر آماری نباشد. برای اینکه یک عارضه لکه داغ تلقی شود و از نظر آماری معنادار نیز باشد باید هم خودش و هم عوارضی که در همسایگی اش قرار دارند، دارای مقادیر بالا باشند. جمع محلی یک عارضه و همسایگانش به طور نسبی با جمع کل عارضه ها مقایسه می شود. زمانی که جمع

¹ WLC

² Hot Spot

محلی به طور زیاد و غیرمنتظره‌ای از جمع محلی مورد انتظار بیشتر باشد و اختلاف به اندازه‌ای باشد که نتوان آن را در نتیجه تصادف دانست، در نتیجه امتیاز Z به دست خواهد آمد (روستایی و همکاران، ۱۳۹۵). آماره گیتس - ارد جی، به صورت زیر (رابطه ۲)، محاسبه می‌شود (Mitchell, 2008).

$$G_i^* = \frac{\sum_{j=1}^n w_{i,j} x_j - \bar{x} \sum_{j=1}^n w_{i,j}}{s \sqrt{\left[n \sum_{j=1}^n w_{i,j}^2 - (\sum_{j=1}^n w_{i,j})^2 \right] / (n-1)}} \quad \text{رابطه ۲}$$

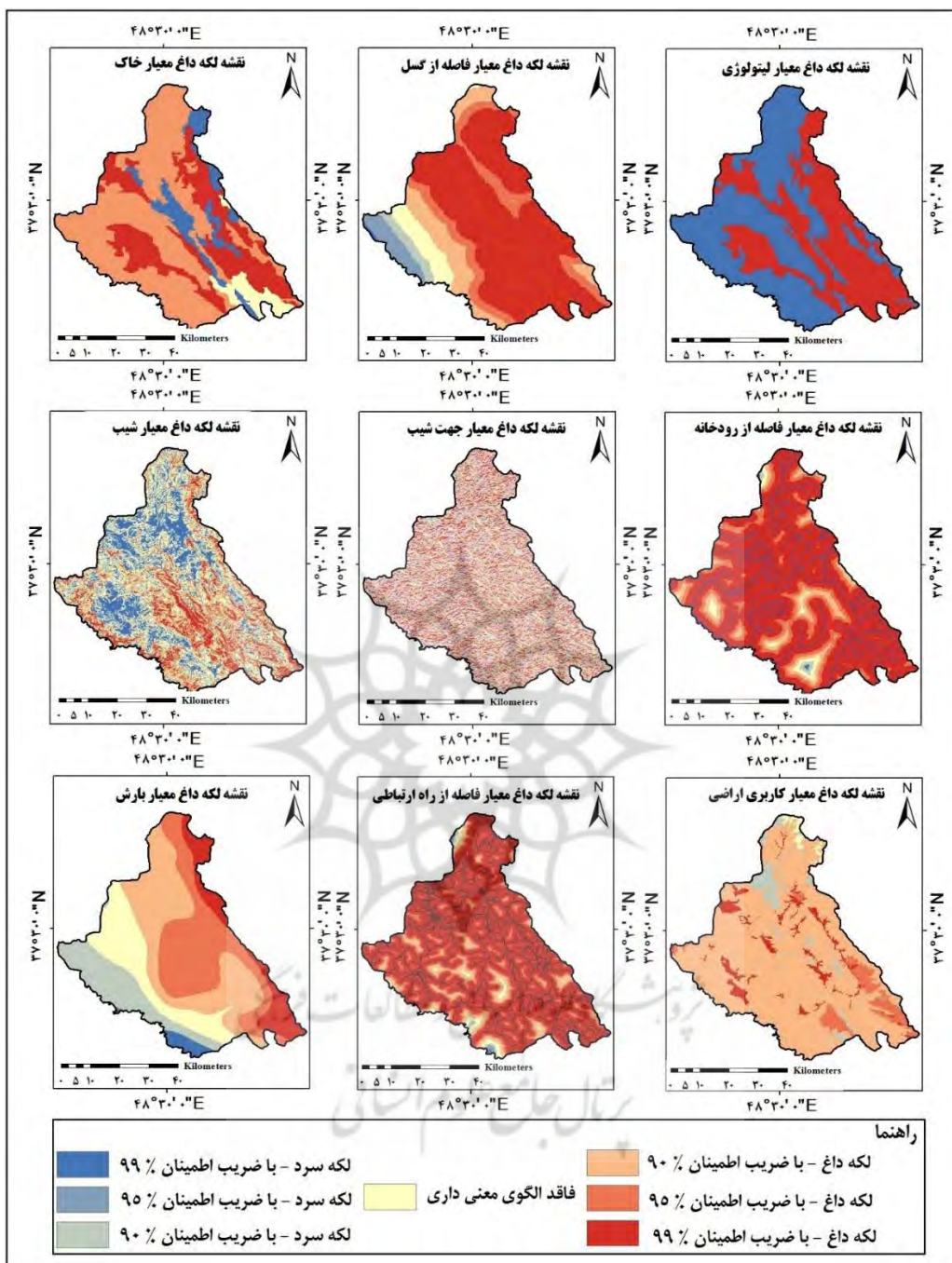
در این فرمول X_j مقدار خصیصه برای عارضه، $w_{i,j}$ وزن فضایی بین عارضه j ، i و n برابر با تعداد کل عارضه‌ها است. برای محاسبه s از رابطه (۳)، استفاده می‌شود.

$$s = \sqrt{\frac{\sum_{i=1}^n x_i^2}{n} - (\bar{x})^2} \quad \text{رابطه ۳}$$

در واقع، آماره G عمومی، شاخص خودهمبستگی فضایی است. ضریب G عمومی بیشتر، نقطه داغ را نشان می‌دهد و ضریب Gi کمتر، نقاط سرد تشخیص داده می‌شود. آماره Gi که برای هر عارضه موجود در داده‌ها محاسبه می‌شود، نوعی نمره Z است. با توجه به امتیاز Z محاسبه شده می‌توان نشان داد که در کدام بلوک‌ها داده‌ها با مقادیر زیاد یا کم خوشبندی شده‌اند. برای آن دسته از نمرات Z که مثبت و از نظر آماری معنی دار هستند، هر چه امتیاز Z بزرگ‌تر باشد مقادیر بالا به میزان زیادی خوشبندی شده و لکه داغ را تشکیل می‌دهد. برای آن دسته از نمرات Z منفی و از نظر آماری معنادار هستند، هر چقدر نمره Z کوچک‌تر باشد، به معنی خوشبندی شدیدتر مقادیر پایین بوده و این‌ها در حقیقت لکه حرارتی سرد را نشان می‌دهد. با توجه به این که Gi خود نوعی نمره Z محسوب می‌شود، از محاسبه دوباره Z پرهیز شده است.

۳- نتایج

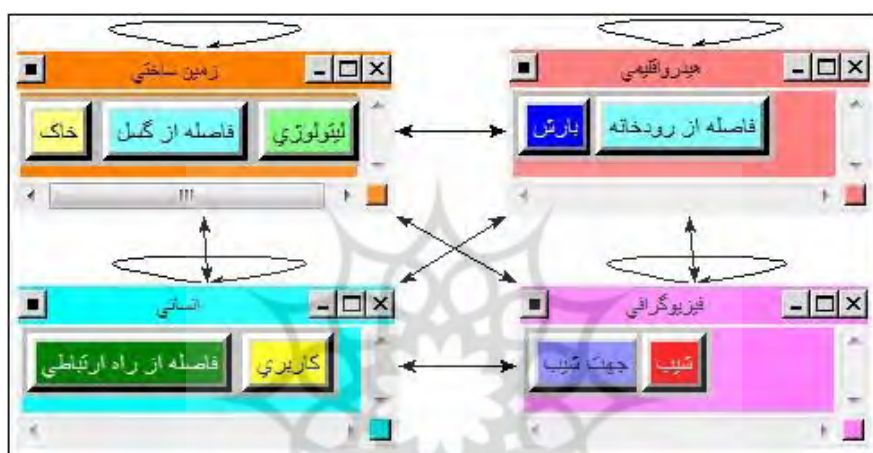
جهت دستیابی به الگوی پهنه‌بندی مکانی زمین‌لغزش در شهرستان خلخال، ضریب G برای کلیه معیارها از طریق نرم افزار GIS10.5، از روش صفر و یک و روش مرز مشترک محاسبه شده است. شکل ۲، تحلیل لکه‌های داغ را بر روی معیارها نشان می‌دهد که در این نقشه‌ها، لکه‌های قرمزنگی که مشاهده می‌شود، نشانگر مقادیر بزرگ‌تر Gi هستند که به عنوان لکه‌های داغ شناخته می‌شوند و این محدوده‌ها از لحاظ پتانسیل زمین‌لغزش پرخطر هستند. هر میزان که Gi کاسته شود و Z نیز مقدار منفی و کوچک‌تر به خود بگیرد. به طرف لکه‌های سرد نزدیک می‌شویم که در نقشه‌ها با رنگ آبی نشان داده شده‌اند و این محدوده‌ها در نقاط کم خطر قرار دارند.



شكل ۲- نقشه‌های لکه داغ معیارهای مطرح در پهنه‌بندی زمین‌لغزش شهرستان خلخال

در مرحله بعد، نسبت به وزن‌دهی با روش ANP اقدام گردید. شکل (۳) نمونه مدل را جهت پهنه‌بندی خطر زمین‌لغزش در شهرستان خلخال، در نرم‌افزار Super Decisions نشان می‌دهد. در مطالعه حاضر عوامل زمین

ساختی، انسانی، فیزیوگرافی و هیدرولوژی خوشها می‌باشد و معیارهای لیتوژری، خاک، کاربری اراضی، شب، فاصله از شبکه آبراهه، فاصله از گسل و بارندگی عناصر مطالعه می‌باشد و سپس مشابه با روش AHP، زوج‌های عناصر تصمیم‌گیری در هر خوش به نسبت اهمیت‌شان در جهت شرط‌های کترلی آن‌ها مقایسه شده و خود خوشها نیز به نسبت سهم‌شان در هدف، مقایسات زوجی شدند و سوپرماتریس‌ها ایجاد شدند (جدول ۱ تا ۴) و نتیجه نهایی عناصر با ضرایب سوپرماتریس در ضرایب ماتریس خوشها نرمال شده و در نهایت، نتیجه نهایی عناصر و اولویت آن‌ها مشخص می‌گردید (جدول ۵).



شکل ۳- نمای کلی از خوشها و عناصر برای بررسی پتانسیل زمین‌لغزش

جدول ۱- سوپرماتریس غیروزنی یا اولیه مربوط به مدل

| هیدرولوژی | | فیزیوگرافی | | زمین ساختی | | | انسانی | | خوشها و عناصر | |
|-----------|------------------|------------|--------|------------|-------|--------------|--------------|--------------|------------------|------------|
| بارندگی | فاصله از رودخانه | شب | جهت شب | لیتوژری | خاک | فاصله از گسل | کاربری اراضی | فاصله از راه | | |
| ۰/۳۳۳ | ۰ | ۰/۳۳۳ | ۰ | ۰/۳۳۳ | ۰/۰۹۹ | ۰/۵۰۰ | ۱ | ۰/۰۹۹ | فاصله از راه | انسانی |
| ۰/۶۶۶ | ۰ | ۰/۶۶۶ | ۰ | ۰/۶۶۶ | ۰/۹۰۰ | ۰/۵۰۰ | ۰ | ۰/۹۰۰ | کاربری اراضی | |
| ۰/۴۰۰ | ۰ | ۰/۳۳۳ | ۰ | ۰/۳۳۳ | ۰/۲۴۹ | ۰ | ۰/۳۲۲ | ۰/۳۷۹ | فاصله از گسل | |
| ۰/۲۰۰ | ۰ | ۰/۳۳۳ | ۱ | ۰/۶۶۶ | ۰ | ۰/۱۴۲ | ۰/۵۶۶ | ۰/۲۸۹ | خاک | |
| ۰/۴۰۰ | ۰ | ۰/۳۳۳ | ۰ | ۰ | ۰/۷۵۰ | ۰/۸۵۷ | ۰/۱۱۰ | ۰/۳۳۱ | لیتوژری | |
| ۰/۲۰۰ | ۱ | ۱ | ۰ | ۰/۳۳۳ | ۰ | ۰/۲۴۹ | ۰ | ۰ | جهت شب | فیزیوگرافی |
| ۰/۸۰۰ | ۰ | ۰ | ۱ | ۰/۶۶۶ | ۱ | ۰/۷۵۰ | ۱ | ۱ | شب | |
| ۱ | ۰ | ۰/۵۰۰ | ۰ | ۰/۲۴۹ | ۰ | ۰/۸۰۰ | ۰/۲۰۰ | ۰ | فاصله از رودخانه | هیدرولوژی |
| ۰ | ۱ | ۰/۵۰۰ | ۰ | ۰/۷۵۰ | ۱ | ۰/۲۰۰ | ۰/۸۰۰ | ۱ | بارندگی | |

جدول ۲ - سوپر ماتریس وزنی مربوط به مدل

| هیدرواقلیمی | | فیزیوگرافی | | زمین ساختی | | | انسانی | | خوشه‌ها و عناصر | |
|-------------|------------------|------------|---------|------------|--------|--------------|--------------|--------------|------------------|-------------|
| بارندگی | فاصله از رودخانه | شیب | جهت شیب | لیتوژئی | خاک | فاصله از گسل | کاربری اراضی | فاصله از راه | انسانی | |
| ۰/۰۲۰ | ۰ | ۰/۰۴۸ | ۰ | ۰/۰۳۵ | ۰/۰۱۰ | ۰/۰۵۳ | ۰/۱۴۲ | ۰/۰۱۴ | فاصله از راه | انسانی |
| ۰/۰۴۰ | ۰ | ۰/۰۹۷ | ۰ | ۰/۰۷۱ | ۰/۰۹۶ | ۰/۰۵۳ | ۰ | ۰/۱۲۸ | کاربری اراضی | |
| ۰/۰۵۵ | ۰ | ۰/۱۹۷ | ۰ | ۰/۲۲۶ | ۰/۱۶۹ | ۰ | ۰/۰۶۴ | ۰/۰۷۶ | فاصله از گسل | زمین ساختی |
| ۰/۰۲۷ | ۰ | ۰/۱۹۷ | ۰/۷۵۷ | ۰/۴۵۲ | ۰ | ۰/۰۹۶ | ۰/۱۱۳ | ۰/۰۵۸ | خاک | |
| ۰/۰۵۵ | ۰ | ۰/۱۹۷ | ۰ | ۰ | ۰/۰۵۰۸ | ۰/۰۵۸۱ | ۰/۰۲۲ | ۰/۰۶۶ | لیتوژئی | فیزیوگرافی |
| ۰/۱۰۰ | ۰/۶۲۴ | ۰/۱۸۹ | ۰ | ۰/۰۵۲ | ۰ | ۰/۰۳۹ | ۰ | ۰ | جهت شیب | |
| ۰/۴۰۰ | ۰ | ۰ | ۰/۲۴۲ | ۰/۱۰۴ | ۰/۱۵۶ | ۰/۱۱۷ | ۰/۳۴۲ | ۰/۳۴۲ | شیب | هیدرواقلیمی |
| ۰/۳۰۱ | ۰ | ۰/۰۳۶ | ۰ | ۰/۰۱۴ | ۰ | ۰/۰۴۶ | ۰/۰۶۲ | ۰ | فاصله از رودخانه | |
| ۰ | ۰/۳۷۵ | ۰/۰۳۶ | ۰ | ۰/۰۴۳ | ۰/۰۵۸ | ۰/۰۱۱ | ۰/۲۵۰ | ۰/۳۱۳ | بارندگی | هیدرواقلیمی |

جدول ۳ - سوپر ماتریس حدی مربوط به مدل

| هیدرواقلیمی | | فیزیوگرافی | | زمین ساختی | | | انسانی | | خوشه‌ها و عناصر | |
|-------------|------------------|------------|---------|------------|-------|--------------|--------------|--------------|------------------|-------------|
| بارندگی | فاصله از رودخانه | شیب | جهت شیب | لیتوژئی | خاک | فاصله از گسل | کاربری اراضی | فاصله از راه | انسانی | |
| ۰/۰۳۵ | ۰/۰۳۵ | ۰/۰۳۵ | ۰/۰۳۵ | ۰/۰۳۵ | ۰/۰۳۵ | ۰/۰۳۵ | ۰/۰۳۵ | ۰/۰۳۵ | فاصله از راه | انسانی |
| ۰/۰۶۵ | ۰/۰۶۵ | ۰/۰۶۵ | ۰/۰۶۵ | ۰/۰۶۵ | ۰/۰۶۵ | ۰/۰۶۵ | ۰/۰۶۵ | ۰/۰۶۵ | کاربری اراضی | |
| ۰/۱۲۶ | ۰/۱۲۶ | ۰/۱۲۶ | ۰/۱۲۶ | ۰/۱۲۶ | ۰/۱۲۶ | ۰/۱۲۶ | ۰/۱۲۶ | ۰/۱۲۶ | فاصله از گسل | زمین ساختی |
| ۰/۲۱۱ | ۰/۲۱۱ | ۰/۲۱۱ | ۰/۲۱۱ | ۰/۲۱۱ | ۰/۲۱۱ | ۰/۲۱۱ | ۰/۲۱۱ | ۰/۲۱۱ | خاک | |
| ۰/۲۱۸ | ۰/۲۱۸ | ۰/۲۱۸ | ۰/۲۱۸ | ۰/۲۱۸ | ۰/۲۱۸ | ۰/۲۱۸ | ۰/۲۱۸ | ۰/۲۱۸ | لیتوژئی | فیزیوگرافی |
| ۰/۰۷۷ | ۰/۰۷۷ | ۰/۰۷۷ | ۰/۰۷۷ | ۰/۰۷۷ | ۰/۰۷۷ | ۰/۰۷۷ | ۰/۰۷۷ | ۰/۰۷۷ | جهت شیب | |
| ۰/۱۵۲ | ۰/۱۵۲ | ۰/۱۵۲ | ۰/۱۵۲ | ۰/۱۵۲ | ۰/۱۵۲ | ۰/۱۵۲ | ۰/۱۵۲ | ۰/۱۵۲ | شیب | هیدرواقلیمی |
| ۰/۰۴۰ | ۰/۰۴۰ | ۰/۰۴۰ | ۰/۰۴۰ | ۰/۰۴۰ | ۰/۰۴۰ | ۰/۰۴۰ | ۰/۰۴۰ | ۰/۰۴۰ | فاصله از رودخانه | |
| ۰/۰۷۱ | ۰/۰۷۱ | ۰/۰۷۱ | ۰/۰۷۱ | ۰/۰۷۱ | ۰/۰۷۱ | ۰/۰۷۱ | ۰/۰۷۱ | ۰/۰۷۱ | بارندگی | هیدرواقلیمی |

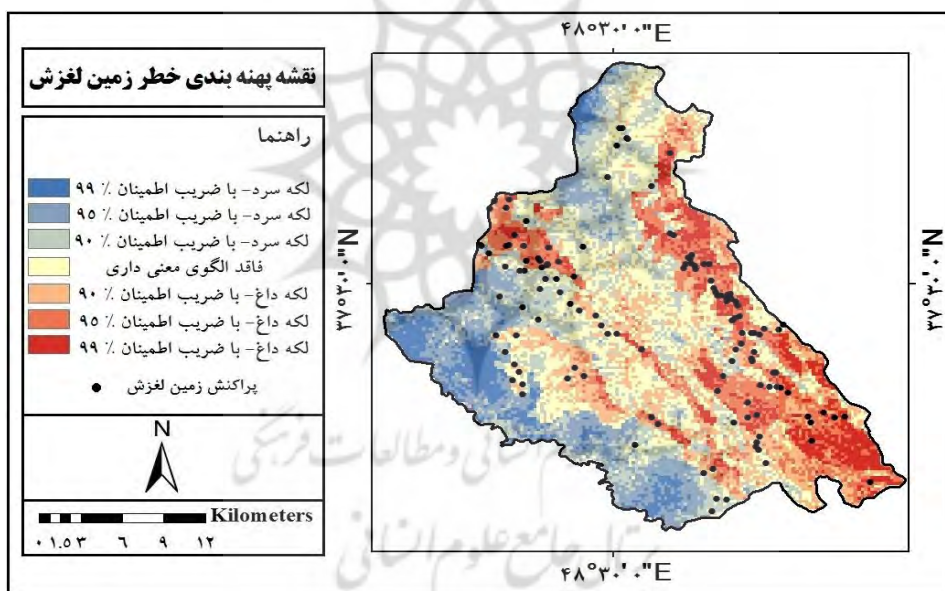
جدول ۴ - ماتریس اوزان گروه‌ها

| هیدرو اقلیمی | فیزیوگرافی | زمین ساختی | انسانی | خوشه‌ها |
|--------------|------------|------------|--------|--------------|
| ۰/۰۶۰ | ۰/۱۴۶ | ۰/۱۰۶ | ۹/۱۴۲ | انسانی |
| ۰/۱۳۷ | ۰/۰۹۱ | ۰/۶۷۸ | ۰/۲۰۰ | زمین ساختی |
| ۰/۵۰۰ | ۰/۱۸۹ | ۰/۱۵۶ | ۰/۳۴۲ | فیزیوگرافی |
| ۰/۳۰۱ | ۰/۰۷۲ | ۰/۰۵۸ | ۰/۳۱۳ | هیدرو اقلیمی |

جدول ۵- وزن نهایی حاصل از روش ANP

| yarndagi | فاصله از رودخانه | شيب | جهت شيب | ليتولوژي | خاک | فاصله از گسل | كاربرى | فاصله از راه | معيار |
|----------|---------------------|-------|------------|----------|-------|-----------------|--------|-----------------|--------------|
| ۰/۶۳۹ | ۰/۳۶۰ | ۰/۶۶۳ | ۰/۳۳۶ | ۰/۳۹۳ | ۰/۳۷۹ | ۰/۲۲۶ | ۰/۶۴۶ | ۰/۳۵۳ | وزن نهایی |

پس از انجام تحلیل لکه‌های داغ برای هر شاخص و استخراج نقشه‌های هر یک از معیارها و اعمال کردن وزن‌های مربوطه حاصل از روش ANP، نقشه‌های حاصله وارد مدل WLC شده و با اعمال مراحل مختلف مدل بر روی نقشه‌ها، خروجی نهایی بدست آمد. سپس بر روی لایه نهایی بدست آمده نیز، تحلیل لکه داغ انجام شد و نقشه نهایی پهن‌بندی لغزش در ۷ طبقه از (بسیار داغ) بسیار پر خطر تا (بسیار سرد) بسیار کم خطر، بدست آمد (شکل ۴). اطلاعات مربوط به هر یک از طبقات خطر نیز در جدول ۶، نشان داده شده است.



شکل ۴- نقشه پهن‌بندی خطر زمین لغزش شهرستان خلخال

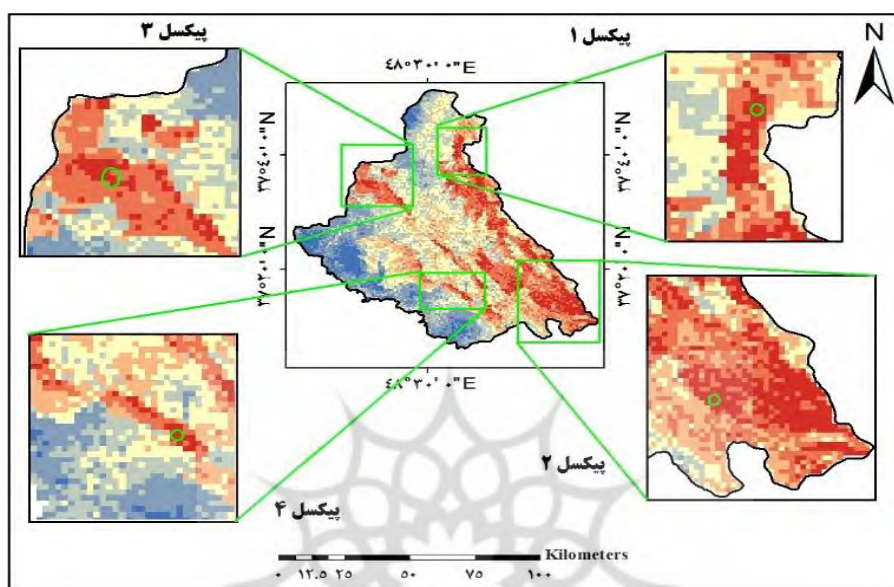
جدول ۶- درصد مساحت تحت پوشش الگوی حاصل از شاخص GI یا Hot Spot

| لکه داغ- ۹۹٪ | لکه داغ- ۹۵٪ | لکه داغ- ۹۰٪ | لکه داغ- معناداری | لکه سرد- ۹۰٪ | لکه سرد- ۹۵٪ | لکه سرد- ۹۹٪ | طبقه خطر |
|-----------------|-----------------|-----------------|----------------------|-----------------|-----------------|-----------------|-----------------------|
| ۲۴۹/۲۳ | ۳۸۵/۰۸ | ۴۲۷/۱۴ | ۵۶۸/۸۱ | ۴۹۵/۸۶ | ۳۷۰/۸۰ | ۱۹۰/۹۸ | مساحت به کیلومتر مربع |
| ۹/۲۸ | ۱۴/۳۳ | ۱۵/۸۹ | ۲۱/۱۶ | ۱۸/۴۵ | ۱۳/۷۹ | ۷/۱۰ | مساحت به درصد |

۴- بحث

نتایج تحلیل از ضریب G عمومی، شکل‌گیری نقاط داغ (به ترتیب ۴۲۷/۱۴، ۳۸۵/۰۸ و ۲۴۹/۳۳ درصد) و نقاط سرد (به ترتیب ۱۹۰/۹۸، ۹۰ و ۹۵ درصد) را نشان می‌دهند و همچنین، ۵۶۸/۸۱ کیلومتر مربع از مساحت محدوده، در طبقات لکه داغ، با ضریب اطمینان ۹۹، ۹۵ و ۹۰ درصد) و مستندسازی بیشتر اعتبار نقشه‌های پهنه‌بندی پتانسیل لغزش با استفاده از تلفیق روش‌های WIC و ANP را نشان می‌دهند و فاقد الگوی معنی‌داری می‌باشد. جهت در این قسمت سعی گردیده است، بعد از انتخاب تصادفی تعدادی از پیکسل‌های معرفی شده به عنوان نقاط پرخطر شکل (۵)، به بررسی مورد به مورد ویژگی‌های این پیکسل‌ها به لحاظ معیارهای تعیین شده پرداخته شود. به طور قطع انطباق این نمرات استاندارد شده با ارزش‌های واقعی ثبت شده از معیارها که با توجه به نقشه‌های رقومی به دست آمده است، به درک ملموس‌تر نتیجه حاصل کمک قابل توجهی می‌کند. با توجه به جدول مربوط به بررسی پیکسل‌های پرخطر (جدول ۷)، مناطق با لکه داغ ۹۹ درصد، به طور عمده در شیب ۲۰ تا ۳۵ درصد قرار دارند و در این مقدار شیب، مواد سطحی و اصولاً ریزدانه که مستعد برای لغزش‌اند با جذب آب و افزایش رطوبت به حد سیلانی رسیده و با بالا رفتن تنש‌های برشی و گسیختگی مواد در دامنه، شروع به حرکت می‌کنند. همچنین می‌توان گفت مناطق پرخطر، در مناطق با بارش زیاد (۶۵۰-۴۰۰ میلی‌متر)، قرار دارند و لغزش‌های شهرستان، در بی بارش‌های سنگین و یا به دنبال ذوب برف‌ها در فصل بهار و در سازندهای مستعد (ریزدانه و سست) شکل می‌گیرند و نحوه فعالیت بدین گونه می‌باشد که از خاک‌های ریزدانه با درصد زیادی از رس، مارن و سیلت تشکیل شده‌اند و از عمق زیادی نیز برخوردارند، نفوذ می‌یابد و فشار آب منفذی خاک و تنش‌های برشی افزایش می‌یابد. لذا، با به هم خوردن حالت کلوئیدی و چسبندگی خاک، پایداری واحدهای مستعد کاهش یافته و موجب گسیختگی می‌گردد. بررسی عامل لیتلولژی نیز نشان می‌دهد، سازندهای نامقاوم و نیمه مقاوم، که عمدهاً سازندهای سست کواترنری هستند، دارای حساسیت بالایی نسبت به وقوع لغزش‌اند. همچنین نقاط لکه داغ به طور عمده در خاک‌هایی با درصد زیاد رس و سیلت و مارن و در دامنه‌های شمالی و شمال غربی (به دلیل دریافت بارش زیاد، ماندگاری طولانی مدت برف و داشتن رطوبت بیشتر)، قرار دارند. بررسی معیار کاربری اراضی نیز حاکی از این موضوع است که کاربری زراعی بیشترین درصد از مساحت مناطق پرخطر را به خود اختصاص داده است که با توجه به عدم رعایت تناوب زراعی، کشت در اراضی شیبدار و افزایش رطوبت خاک از طریق آبیاری و نفوذ دادن آب بیشتر به زمین قابل قبول می‌باشد. به علاوه اراضی پرخطر (لکه داغ)، معرفی شده حاصل از روش تحقیق، نشان می‌دهد که اراضی پرخطر به‌طور نسبی، در فواصل نزدیک از جاده، رودخانه و گسل قرار دارند. در این رابطه می‌توان گفت، عامل جاده، به دلیل زیربری و از بین بردن پاشنه دامنه و تغییر در شیب دامنه‌ها در ایجاد حرکات لغزشی نقش

بسیار مهمی دارد و رودخانه‌ها نیز، با زیرشوابی دامنه‌ها و از بین بردن تکیه‌گاه مواد دامنه‌ای در ایجاد زمین لغزش دارای اهمیت‌اند و همچنین، گسل‌ها منجر به گسیختگی در دامنه‌ها و ایجاد شکستگی در لایه‌ها و خردش‌گی توده‌های سنگی و در نتیجه نفوذ آب به داخل زمین و کاهش مقاومت برشی دامنه می‌گردد.



شکل ۵- نقشه پیکسل‌های نمونه پرخطر مورد بررسی در پهنه‌بندی زمین لغزش

جدول ۷- ارزش‌های عادی و فازی نمونه‌های مورد بررسی از پیکسل‌های پرخطر در پهنه‌بندی زمین لغزش

| معیار | پیکسل نمونه ۱ | پیکسل نمونه ۲ | پیکسل نمونه ۳ | پیکسل نمونه ۴ |
|-------------------------|-------------------|---------------|---------------|---------------|
| ارزش عادی | ارزش عادی | ارزش عادی | ارزش عادی | ارزش عادی |
| لیتوسول | لیتوسول | لیتوسول | لیتوسول | لیتوسول |
| نیمه مقاوم | نامقاوم | نامقاوم | نامقاوم | مقاوم |
| ۹۰۰ | ۱۲۰۰ | ۱۸۰۰ | ۲۰۰ | |
| فاصله از گسل به متر | | | | |
| کاربری اراضی | ترکیب زراعی و باغ | مرتع | زراعت دیم | زراعت دیم |
| ۱۰۰۰ | ۸۰۰ | ۱۸۰۰ | ۳۰۰ | ۶۰۰ |
| فاصله از جاده به متر | | | | |
| شیب به درصد | ۳۰ | ۲۲ | ۳۴ | ۲۵ |
| جهت شیب | شمال | شمال غرب | شمال | شمال |
| بارندگی به میلی متر | ۶۲۰ | ۵۸۰ | ۴۱۰ | ۴۶۰ |
| فاصله از رودخانه به متر | ۱۰۰۰ | ۵۰۰ | ۴۰۰ | ۶۰ |

همچنین، نتایج حاصل از همپوشانی خروجی حاصل از مطالعه، با پراکنش زمین لغزش‌ها (شکل ۴)، نشان داد که ۷۴/۸۰ از نقاط پراکنش لغزش‌ها در سطح شهرستان خلخال، در طبقات پرخطر (لکه داغ ۹۹ درصد تا ۹۰ درصد) و ۹/۹۳ از نقاط پراکنش لغزشی، در طبقات با خطر کم (لکه سرد ۹۹ درصد تا ۹۰ درصد) قرار دارند و طبقه فاقد الگوی معناداری ۱۵/۲۷ درصد از نقاط پراکنش لغزشی را به خود اختصاص داده است؛ لذا نقشه پهنه‌بندی حاصل از تلفیق روش‌های WIC و ANP، با نقاط پراکنش لغزشی، هم‌خوانی بالایی دارد؛ به عبارت دیگر، نقاط پرخطر منطبق بر پراکنش و مکان‌های مربوط به رخداد واقعی زمین لغزش است. نمونه‌هایی از زمین لغزش‌ها در سطح شهرستان خلخال، در شکل ۶، نمایش داده شده است.



شکل ۶- نمونه‌هایی از زمین لغزش‌ها در سطح شهرستان خلخال

۵- نتیجه‌گیری

در شهرستان خلخال به دلیل کوهستانی بودن، وجود خاک‌های عمیق بر روی دامنه‌های پرشیب و نفوذ آب به لایه‌های زیرین خاک در هنگام ذوب تدریجی برف‌ها، زمینه مناسبی برای شکل‌گیری پدیده زمین لغزش به وجود آمده و خسارات زیادی را به دنبال داشته است. در این پژوهش خطر زمین لغزش در شهرستان خلخال، با استفاده از تلفیق روش‌های WIC و ANP، مورد بررسی قرار گرفت. نتایج مطالعه نشان داد، عوامل شیب، کاربری اراضی، بارش و لیتوژوژی به ترتیب با مقدار ۰/۶۶۳، ۰/۶۴۶ و ۰/۳۷۹، ۰/۳۹ و ۰/۲۸ بیشترین ضریب وزنی را به خود اختصاص دادند و همچنین نتایج حاصل از مطالعه بیانگر این امر می‌باشد که به ترتیب ۱۵/۸۹، ۱۴/۳۳، ۹/۲۸ و ۱۵/۸۹ درصد از محدوده مطالعاتی در طبقات با تحلیل لکه داغ ۹۹، ۹۰ و ۹۵ درصد، قرار دارد. با توجه به نقشه پهنه‌بندی لغزش شهرستان خلخال، مناطق پرخطر، به طور عمده در شیب ۲۰ تا ۳۵ درصد، در مناطق با بارش زیاد (۴۰۰-۶۵۰ میلی‌متر)، قرار دارند. همچنین، سازندهای نامقاوم و نیمه مقاوم، که عمدتاً سازندهای سست کواترنری هستند، خاک‌هایی با درصد زیاد رس و سیلت و مارن، کاربری‌های زراعی و دامنه‌های شمالی و شمال غربی، دارای حساسیت بالایی نسبت به وقوع لغزش‌اند. به علاوه نتایج مطالعه، نشان می‌دهد که اراضی پرخطر به طور نسبی، در فواصل نزدیک از جاده، رودخانه و گسل قرار دارند.

همچنین می‌توان گفت که نتایج حاصل از این مطالعه، حاکی از توان بالای شهرستان از لحاظ رخداد حرکات لغزشی می‌باشد، لذا اراضی بسیار پر خطر و پر خطر اراضی هستند که باید اقدامات حفاظتی و آبخیزداری در آن انجام گیرد. همچنین نباید تخریب و کارهای غیر اصولی از قبیل تخریب پوشش گیاهی در اثر تبدیل اراضی مرتتعی به زراعی، و کاهش کمی و کیفی پوشش گیاهی در اثر چرای بی‌رویه دامها، کشت دیم در اراضی شیبدار، عدم رعایت تناوب زراعی و احداث غیر اصولی جاده انجام گیرد. بنابراین پیشنهاد می‌گردد، سازمان‌ها و ارگان‌های زیربسط از جمله اداره کل منابع طبیعی، اداره راه و ترابری، بنیاد مسکن، سازمان جهاد کشاورزی و سازمان آب منطقه‌ای و ... در طراحی پروژه‌ها، مدیریت‌های محیطی، اجرای برنامه‌ها، طرح‌های عمرانی و هرگونه ساخت و سازها و فعالیت‌های زیربنایی در شهرستان خلخال، به منظور انتخاب استراتژی صحیح و مناسب و دوری از مناطق خطرناک، نقشه‌های پهنه‌بندی زمین‌لغزش منطقه را نیز مدنظر قرار دهند.

همانگونه که می‌دانیم، هر یک از روش‌های پهنه‌بندی زمین‌لغزش‌ها به نوبه خود دارای مزایا و معایبی می‌باشند. این امر که یک روش در یک منطقه تا چه حد از کارایی برخوردار است به شرایط بسیاری از جمله اقلیم و توپوگرافی و دیگر عوامل بستگی دارد. با توجه به نقشه‌های پهنه‌بندی حاصل از مطالعه، بررسی موردی پیکسل‌های اولویت‌دار معرفی شده در خروجی حاصل از روش تحقیق و مقایسه آن با نقشه پراکنش حاصل از پیمایش‌های میدانی و همچنین شرایط اقلیمی، توپوگرافی، زمین‌شناسی، هیدرولوژی و انسانی حاکم بر منطقه می‌توان، نتیجه گرفت که استفاده تلفیق روش‌های ANP و WIC، از دقت نسبی بالایی جهت مطالعه زمین‌لغزش برخوردار است و انتظار می‌رود، این مطالعه و نتایج حاصل از این تحقیق، راه‌گشایی برای اعمال مدیریت بهتر و علمی‌تر مدیران و برنامه‌ریزان ذی‌صلاح در این زمینه گردد.

کتابنامه

- احمدی، حسن؛ ۱۳۸۶. ژئومورفولوژی کاربردی. جلد اول. فرساش آبی. چاپ پنجم. انتشارات دانشگاه تهران.
 امیر احمدی، ابوالقاسم؛ شکاری بادی، علی؛ معتمدی‌راد، محمد؛ ۱۳۹۴. پهنه‌بندی خطر زمین‌لغزش با استفاده از مدل ANP (مطالعه موردی: حوضه پیوه‌زن دامنه جنوبی بینالود). پژوهش‌های ژئومورفولوژی کمی. سال چهارم. شماره ۳، ۲۱۴-۲۳۰.

بهاروند، سیامک؛ رهنمازد، جعفر؛ سوری، سلمان؛ ۱۳۹۷. اولویت‌بندی عوامل مؤثر بر زمین‌لغزش و پهنه‌بندی خطر آن با استفاده از روش ترکیب خطی وزن دار (مطالعه موردی: حوضه وارک). مخاطرات محیط طبیعی. دوره هفتم. شماره ۱۶. ۱۹۵-۲۱۰.

بهاروند، سیامک؛ سارویی، حمزه؛ سوری، سلمان؛ ۱۳۹۶. پهنه‌بندی خطر زمین‌لغزش با استفاده از روش ترکیب خطی وزن دار، مطالعه موردی: حوضه ده یقید. استان لرستان. فصلنامه جغرافیای طبیعی. سال دهم. شماره ۳۵، ۸۶-۷۵.

پیروزی، الناز؛ مددی، عقیل؛ غفاری گیلانده، عطا؛ ۱۳۹۲. پهنه‌بندی زمین لغزش با استفاده از روش ترکیب خطی وزنی در راستای حفاظت از محیط زیست (مطالعه موردنی: حوضه آبخیز آق لاقان چای). هفتمین کنفرانس ملی روز جهانی محیط زیست. تهران.

رنجبر، محسن؛ روغنی، پریسا؛ ۱۳۸۸. پهنه‌بندی خطر زمین لغزش در شهرستان اردل با استفاده از روش تحلیل سلسله مراتبی AHP. فصلنامه جغرافیایی چشم‌انداز زاگرس. سال اول. شاره ۲، ۸۸-۲۲.

روستایی، شهریور؛ کریم‌زاده، حسین؛ زاد ولی، فاطمه؛ ۱۳۹۵. بررسی تحلیل فضایی گسترش فقرشهری در شهر تبریز طی سال‌های ۱۳۷۵-۱۳۸۵. مجله آمایش جغرافیایی فضا. سال ششم. شماره بیست و دوم، ۱۳۶-۱۲۵.

صدمازاده، رسول؛ ۱۳۹۴. ارزیابی پهنه‌های خطر زمین لغزش در جاده اردبیل-سرچم. پژوهش‌های دانش زمین. سال ششم. شماره ۲۳، ۳۳-۱۹.

فرجی سبک‌بار، حسنعلی؛ سلمانی، محمد؛ فربودونی، فاطمه؛ کریم‌زاده، حسین؛ رحیمی، حسن؛ ۱۳۸۹. مکان‌یابی محل دفن بهداشتی زباله روزتایی با استفاده از مدل فرایند تحلیل شبکه‌ای (ANP)؛ مطالعه موردنی: نواحی روزتایی شهرستان قوچان. فصلنامه مدرس علوم انسانی. دوره ۱۴. شماره ۱. ۱۴۹-۱۲۷.

کردوانی، پرویز؛ غلامی کلاته، غلامرضا؛ رنجبر، محسن؛ ۱۳۹۶. ارزیابی خطر وقوع زمین‌لغزش در حوضه آبخیز اوغان استان گلستان با استفاده از فرایند تحلیل شبکه (ANP). پژوهش‌های حفاظت آب و خاک. جلد بیست و چهارم. شماره ۶۶-۴۷.

کریمی سنگ‌چینی، ابراهیم؛ اونق، مجید؛ سعدالدین، امیر؛ ۱۳۹۰. مقایسه کارایی ۴ مدل کمی و نیمه کیفی در پهنه‌بندی خطر زمین‌لغزش در حوضه آبخیز چهل‌چای استان گلستان. پژوهش‌های حفاظت آب و خاک. جلد نوزدهم. شماره اول. ۱۸۳-۱۹۶.

مالچفسکی، یاچک؛ ۱۳۸۵. ترجمه پرهیزگار، اکبر، عطا غفاری گیلانده. سامانه اطلاعات جغرافیایی و تحلیل تصمیم‌چند معیاری. چاپ اول. انتشارات سمت.

محمودی، فرج الله؛ ۱۳۸۷. ژئومورفوژوژی دینامیک. چاپ دوم. انتشارات پیام نور.

مهدی زاده سولا، جواد؛ ۱۳۹۱. تحلیل مخاطرات اقلیمی در شهر تبریز با استفاده از منطق فازی و مدل ANP. استاد راهنمای: بهروز سبحانی. پایان‌نامه کارشناسی ارشد رشته جغرافیا. دانشگاه محقق اردبیلی.

نصیری، شهرام؛ ۱۳۸۳. تأثیرات بر زمین‌لغزش‌های ایران (مطالعه موردنی ناپایداری شیب‌ها در جاده هراز. پایگاه ملی داده‌های علوم زمین کشور).

هدایی، علی‌اصغر؛ ۱۳۸۱. ناپایداری دامنه‌ای و پهنه‌بندی خطر رویداد حرکات دامنه‌ای. همایش علمی تحقیق مدیریت امداد و نجات. ۴۶۱-۴۵۳.

- Abedi Gheshlaghi H, Feizizadeh B. (2017). An integrated approach of analytical network process and fuzzy based spatial decision making systems applied to landslide risk mapping. *Journal of African Earth Sciences* 133: 15-24.
- Alcantara I. (2002). Geomorphology, Natural Hazards, Vulnerability and Prevention of Natural Disaster in Developing Countries. *Geomorphology* 47:107-124.
- Bell R, Glade T. (2004). Quantitative risk analysis for landslides, Examples from Bildudalur, NW-Iceland, *Natural Hazards and Earth* 4: 117-131.
- Dhakal A, Amada T, Aniya M. (2000). Landslide Hazard Mapping and its Evaluation Using GIs: An Investigation of Sampling Schemes for a Grid-Cell Based Quantitative Method.
- Gigovic L, Drobnjak S, Pamucar D. (2019). The Application of the Hybrid GIS Spatial Multi-Criteria Decision Analysis Best-Worst Methodology for Landslide Susceptibility Mapping. *International journal of Geo-Information* 8 (79): 1-29.
- Kouli M, Loupasakis C, Soupios P, Vallianatos F. (2010). Landslide hazard zonation in high risk areas of Rethymno Prefecture, Crete Island, Greece. *Nat Hazards* 52: 599-621.
- Mitchell A. 2008. The ESRI Guide to GIS Analysis. Volume 2, Spatial Measurements and Statistics, ESRI Press, Redlands, California.
- Neupane K.M, Piantanakulchai M. (2006). Analytic network process model for landslide hazard zonation. *Engineering Geology* 85: 281–294.
- Sakar S, Kanugo D, Mehrotra P. (1995). Landslide zoning : A case study in Garhwal Himalaya, India. *Mountain research and development* 15 (4): 301-309.
- Tajudin N, Yaacob N, mohdali D, Adhan N. (2018). Rainfall – landslide potential mapping using remote sensing and GIS at Ulu Kelang, Selangor, Malaysia. *Conference Series Earth and Environmental Science* 169 (1):1-8.

